

บทที่ 7

ผลการทดสอบหาค่าตัวประกอบความเข้มของความเค้นด้วยระเบียบวิธีไฟน์ต์เอลิเมนต์

ในบทนี้จะเป็นการนำโปรแกรมคอมพิวเตอร์ Crack 2D มาทดสอบเพื่อเปรียบเทียบกับผลการคำนวณด้วยวิธีไฟน์ต์เอลิเมนต์ ทั้ง 2 วิธีได้มีการนำเสนองานตรวจสอบความถูกต้องที่ได้ผลไปในแนวทางเดียวกัน [2] โดยพารามิเตอร์หลักที่ใช้ในการตรวจสอบคือ ค่าตัวประกอบความเข้มของความเค้น ขั้นตอนการทำงานของโปรแกรมและรายละเอียดจะกล่าวในภาคผนวกต่อไป บทนี้จะกล่าวถึงเทคนิคการปรับขนาดเอลิเมนต์โดยอัตโนมัติอย่างคร่าวๆ และปัญหาที่จะนำมาพิจารณาเป็นปัญหาของชิ้นทดสอบที่มีรอยร้าวในรูปแบบอย่างง่ายที่มี 2 วัสดุ ประกอบกันดังนี้

1. แผ่นสี่เหลี่ยมแบบมีรอยร้าวที่ขอบซึ่งเดียวกัน (Single edge crack plate tension)
2. แผ่นสี่เหลี่ยมแบบมีรอยร้าวเฉียงมุม 30° ที่ขอบด้านเดียวกัน (Slant cracked 30° rectangular plate tension)
3. แผ่นสี่เหลี่ยมแบบมีรอยร้าวเฉียงมุม 45° ที่ขอบด้านเดียวกัน (Slant cracked 45° rectangular plate tension)

7.1 โปรแกรมคอมพิวเตอร์สำหรับประยุกต์การปรับขนาดเอลิเมนต์

ในการประยุกต์เทคนิคการปรับขนาดเอลิเมนต์โดยอัตโนมัติเข้ากับของแข็งยืดหยุ่นที่มีรอยร้าวนั้นซึ่งสามารถขยายเป็นขั้นตอนคร่าวๆ ได้ดังภาพที่ 7.1 โดยประกอบด้วย 3 โปรแกรมหลักคือ

7.1.1 โปรแกรม BUILT

เป็นโปรแกรมที่ใช้สำหรับสร้างแบบจำลองไฟน์ต์เอลิเมนต์ (Finite element model) ซึ่งประกอบด้วยการทำงาน 2 แบบ คือ สร้างแบบจำลองไฟน์ต์เอลิเมนต์เริ่มต้น (initial mesh) โดยรับข้อมูลจากผู้ใช้โดยตรง และปรับขนาดแบบจำลองไฟน์ต์เอลิเมนต์ใหม่ (remeshing) เป็นการปรับขนาดที่เหมาะสมจากโปรแกรมเป็นผู้กำหนด (SPACE)

7.1.2. โปรแกรม CRACK2D

เป็นโปรแกรมหลักที่ใช้ในการวิเคราะห์ปัญหาของแจ็งยีดหยุ่นได้ที่มีรอยร้าวซึ่งผลลัพธ์จะอยู่ในรูปของค่าการเคลื่อนตัว และค่าความเค้นที่จุดต่อ

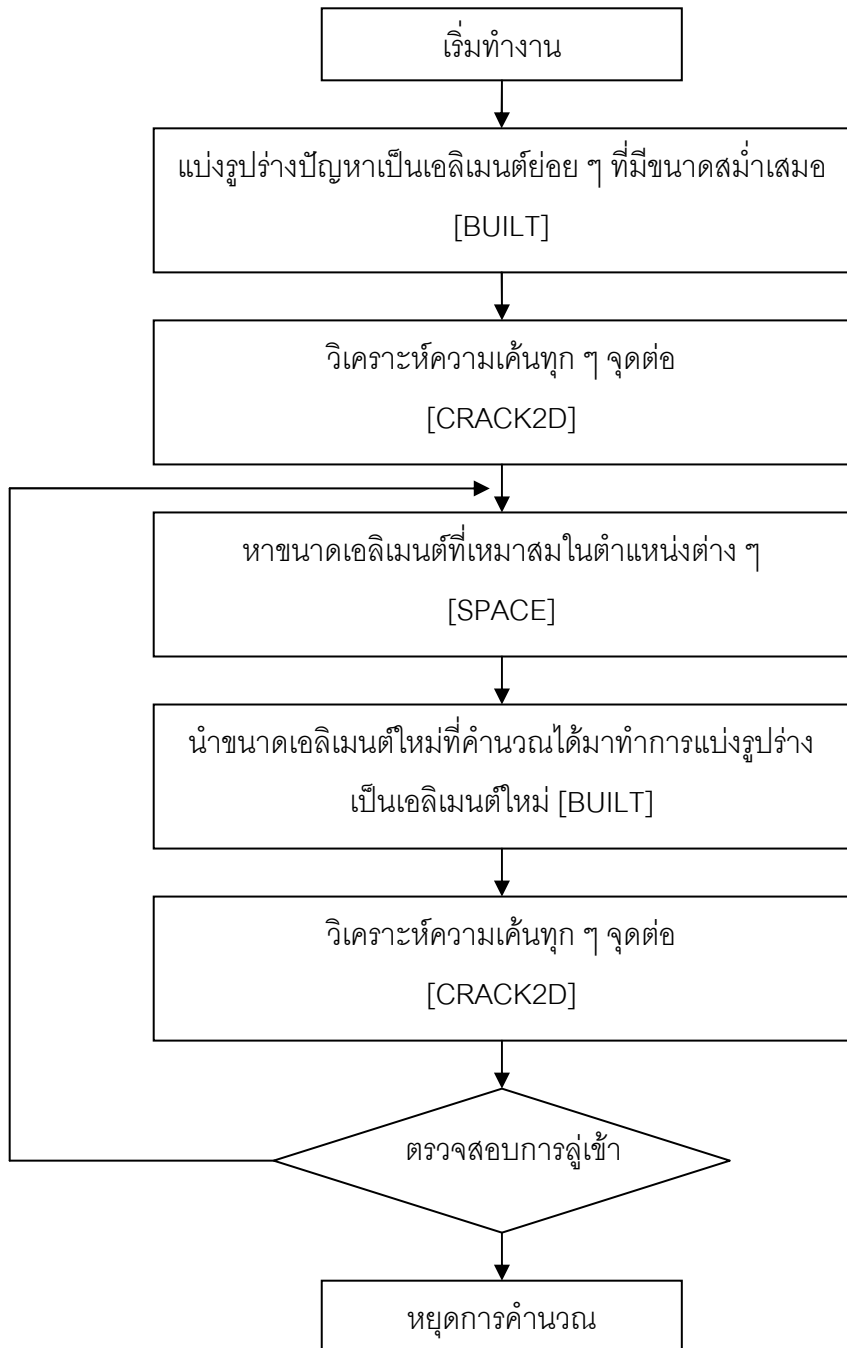
7.1.3. โปรแกรม SPACE

เป็นโปรแกรมที่ใช้คำนวนหาขนาดเอลิเมนต์ที่เหมาะสมบนโดเมนปัญหาโดยรับข้อมูลทั้งจากผู้ใช้กำหนดค่าตัวแปรต่าง ๆ ที่จำเป็น และข้อมูลที่คำนวนได้จากโปรแกรม CRACK2D โดยผลการคำนวนจะถูกใช้เป็นข้อมูลนำเข้าในโปรแกรม BUILT เพื่อสร้างแบบจำลองไฟไนต์เอลิเมนต์ต่อไป

7.1.4 ลำดับขั้นตอนในการประยุกต์เทคนิคการปรับขนาดของเอลิเมนต์โดยอัตโนมัติ

ลำดับขั้นตอนในการประยุกต์เทคนิคการปรับขนาดของเอลิเมนต์โดยอัตโนมัติเข้ากับปัญหาของแจ็งยีดหยุ่นได้ที่มีรอยร้าวโดยใช้โปรแกรมทั้ง 3 ขั้นตอน ดังนี้

1. สร้างแบบจำลองไฟไนต์เอลิเมนต์ที่มีขนาดเอลิเมนต์เท่ากันและกระจายโดยสม่ำเสมอตลอดโดเมนของปัญหา โดยใช้โปรแกรม BUILT
2. ใช้โปรแกรม CRACK2D วิเคราะห์หาผลของความเค้นในแนวแกนจากแบบจำลองไฟไนต์เอลิเมนต์ที่ได้จากโปรแกรม BUILT ในขั้นตอนที่ 1
3. ใช้โปรแกรม SPACE เพื่อหาขนาดของเอลิเมนต์ที่เหมาะสมโดยใช้ผลของการเปลี่ยนแปลงความชันของผลลัพธ์ที่ได้จากขั้นตอนที่ 2 เป็นตัวกำหนด
4. สร้างแบบจำลองไฟไนต์เอลิเมนต์อีกครั้งโดยใช้ผลของขนาดเอลิเมนต์ที่คำนวนได้ในขั้นตอนที่ 3
5. วิเคราะห์ปัญหาที่มีรอยร้าวโดยโปรแกรม CRACK2D โดยใช้แบบจำลองไฟไนต์เอลิเมนต์ที่ผ่านการปรับขนาดครั้งแรกเรียบร้อยแล้ว
6. ตรวจสอบความเปลี่ยนแปลงของค่าตัวประกอบความเข้มของความเค้น (K) ที่ได้เมื่อเทียบกับผลที่ได้จากการวิเคราะห์ โดยใช้แบบจำลองไฟไนต์เอลิเมนต์ในรอบก่อนหน้า หากผลที่ได้มีความแตกต่างกันมากกว่าค่าที่ยอมรับได้ ให้นำผลของความเค้นในแนวแกนในครั้งหลังไปใช้ในการหาขนาดเอลิเมนต์ที่เหมาะสมใหม่ในขั้นตอนที่ 3 ทำซ้ำนี้เรื่อยไปจนกว่าเปลี่ยนแปลงของค่าตัวประกอบความเข้มของความเค้นที่ได้มีการเปลี่ยนแปลงอยู่ในค่าที่ยอมรับได้ เมื่อเทียบกับค่าตัวประกอบความเข้มของความเค้นในการคำนวนในครั้งก่อน จึงสามารถใช้เอลิเมนต์พิเศษที่ปลายรอยร้าวได้



ກາພທ 7.1

ຂໍ້ຕອນກາຣທຳການຂອງໂປຣແກຣມດ້ວຍຮະບັບວິທີໄຟໄຟເຄລີມເນຕິແບບປັບປຸງຂະດອັດໂນມັດ

7.2 ผลการคำนวณ

7.2.1 คุณสมบัติของวัสดุที่ใช้ในการคำนวณ

วัสดุที่ใช้ในการคำนวณ แบ่งได้เป็น 2 ลักษณะ ตามตารางที่ 7.1 คือ

1. วัสดุหลัก (Matrix)
2. วัสดุเสริมแรง (Inclusion) มีทั้งแบบแข็ง (Hard Inclusion) และแบบอ่อน (Soft Inclusion)

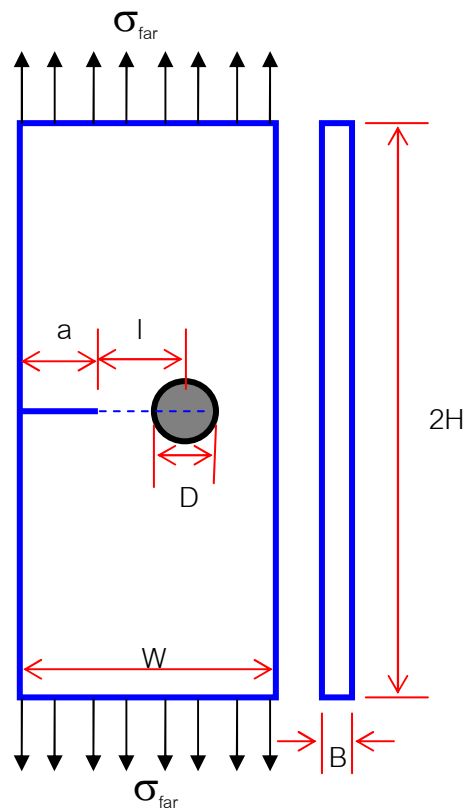
ตารางที่ 7.1

คุณสมบัติของวัสดุที่ใช้ในการคำนวณด้วยระเบียบวิธีไฟแนนซ์

| Property | Polycarbonate sheet | Magnesium alloy AZ61 | Teflon |
|------------------------|---------------------|-------------------------|------------------|
| | (Matrix) | (Hard Inclusion) | (Soft inclusion) |
| The modulus of elastic | 2.5 GPa | 45 GPa | 0.6 Gpa |
| The Poisson's ratio | 0.38 | 0.35 | 0.46 |

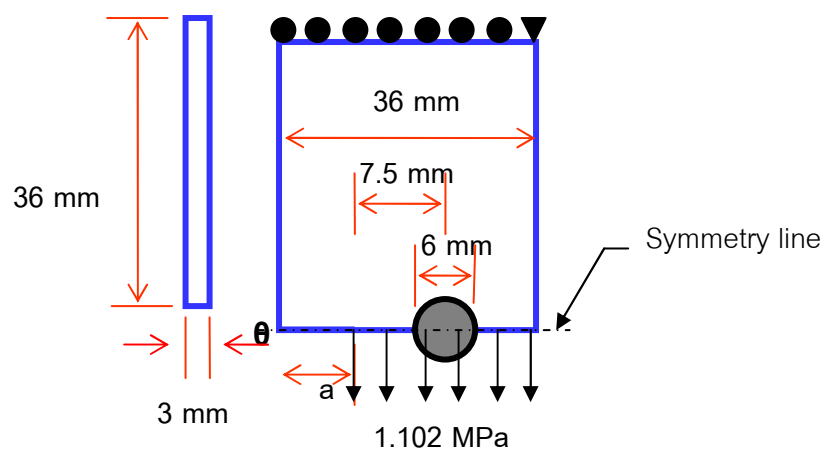
7.2.2 ปัญหาแผ่นสีเหลี่ยมแบบมีรอยร้าวข้างเดียวภายใต้แรงดึง

ปัญหาแผ่นสีเหลี่ยมแบบมีรอยร้าวข้างเดียวภายใต้แรงดึง ความกว้างเท่ากับ W ความสูงเท่ากับ 2H ความหนาเท่ากับ B รายละเอียดของปัญหาแสดงในภาพที่ 7.2 และ 7.3 ถูกกระทำด้วยภาระความเค้นตึงขนาด 1.102 MPa ในแนวตั้ง มีค่าโมดูลัสของความยืดหยุ่นเท่ากับ 2.5 GPa อัตราส่วนปื้นที่ของสีเท่ากับ 0.38 มีอัตราส่วนความยาวรอยร้าวต่อความกว้าง (a/W) ในช่วง 0.2-0.6 โดยความสูง (2H) เท่ากับ 72 มิลลิเมตร ความกว้างเท่ากับ 36 มิลลิเมตร และความหนาเท่ากับ 3 มิลลิเมตร



ภาพที่ 7.2

รูปร่างของปัญหาแผ่นสี่เหลี่ยมแบบมีรอยร้าวข้างเดียวภายใต้แรงดึง



ภาพที่ 7.3

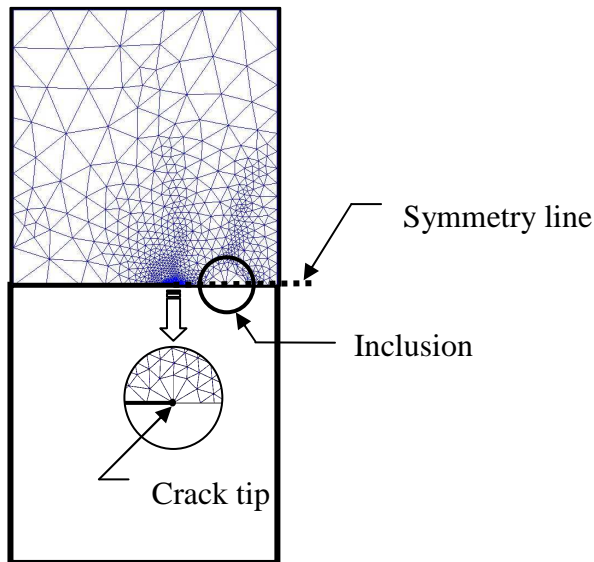
รายละเอียดของปัญหาแผ่นสี่เหลี่ยมแบบมีรอยร้าวข้างเดียวภายใต้แรงดึง

โดย พารามิเตอร์ที่จะจะคือ

| | |
|---|---|
| W | คือ ความกว้างของชิ้นทดสอบ มีขนาด 36 mm |
| H | คือ ความยาวของชิ้นทดสอบ มีขนาด 36 mm |
| B | คือ ความหนาของชิ้นงาน มีขนาด 3 mm |
| I | คือ ความยาวระหว่างปลายรอยร้าวกับจุดศูนย์กลางของ inclusion มีขนาด 7.5 mm |
| D | คือ เส้นผ่านศูนย์กลางของ inclusion มีขนาด 6 mm |

ซึ่งจะใช้พารามิเตอร์ข้างต้นกับทั้ง Soft และ hard inclusion โดยรูปร่างของปัญหาจะยึดแน่นที่มุ่งด้านใดด้านหนึ่ง และยึดไม่ให้มีการเคลื่อนที่ในแนวแกน y ที่ขอบด้านบนที่เหลือทั้งหมด ดังแสดงในภาพที่ 7.3 และเนื่องจากรูปร่างของปัญหาเป็นแบบสมมาตรในแนวแกน x ซึ่งสามารถพิจารณาเพียงหนึ่งในสองส่วนของรูปร่างของปัญหาได้ ดังแสดงในภาพที่ 7.4

เมื่อทำการคำนวณด้วยโปรแกรม CRACK2D โดยใช้โอลิเมนต์แบบสามเหลี่ยมแปดจุดต่อบริเวณรอบปลายรอยร้าว และคำนวณหาค่าตัวประกอบความเข้มของความเค้นตามสมการที่ (5.17) สามารถหาค่าตัวประกอบความเข้มของความเค้นได้ผลตามตารางที่ 7.2 สำหรับ Hard inclusion และได้ผลตามตารางที่ 7.3 สำหรับ Soft inclusion



ภาพที่ 7.4

รูปแบบของไฟโนลด์โอลิเมนต์ของปัญหาแผ่นสี่เหลี่ยมแบบมีรอยร้าวที่ขอบด้านเดียวภายใต้แรงดึง ($a/W = 0.5$)

ตารางที่ 7.2

ค่าตัวประกอบความเข้มของความเดินของปัญหาแผ่นสี่เหลี่ยมแบบมีรอยร้าวที่ขอบด้านเดียว

ภายใต้แรงดึงสำหรับ Hard inclusion

| a/W | FEM | | | | KI (Hard) | KI (Hole) | %Difference |
|-----|------|---------|-----------------------------|-----------------------------|-------------------------|-------------------------|-------------|
| | Node | Element | Vb ($\times 10^{-4}$ m) | Vc ($\times 10^{-4}$ m) | (Mpa·m ^{1/2}) | (Mpa·m ^{1/2}) | |
| 0.2 | 3993 | 7725 | 0.0169 | 0.0327 | 0.6255 | 0.6011 | 4.07% |
| 0.3 | 4303 | 8334 | 0.0233 | 0.0469 | 0.8508 | 0.8873 | 4.11% |
| 0.4 | 2456 | 4666 | 0.0303 | 0.0612 | 1.1069 | 1.2663 | 12.58% |
| 0.5 | 4325 | 8410 | 0.0451 | 0.0908 | 1.6457 | 1.8371 | 10.42% |
| 0.6 | 3804 | 7361 | 0.0616 | 0.1235 | 2.2529 | 2.4649 | 8.60% |

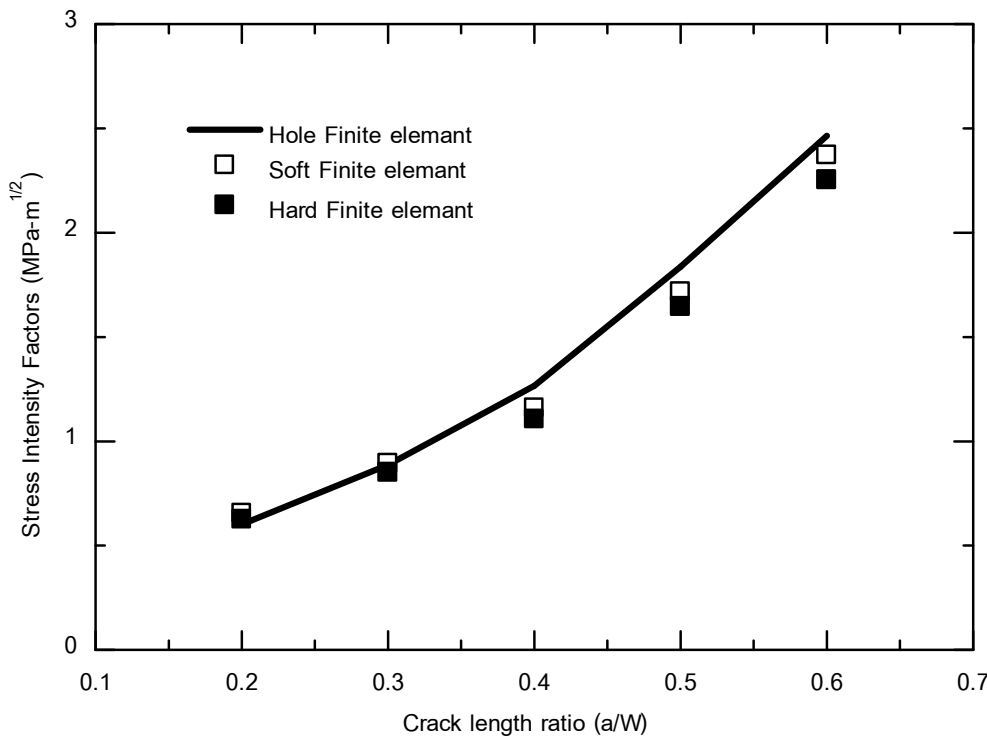
ตารางที่ 7.3

ค่าตัวประกอบความเข้มของความเดินของปัญหาแผ่นสี่เหลี่ยมแบบมีรอยร้าวที่ขอบด้านเดียว

ภายใต้แรงดึงสำหรับ Soft inclusion

| a/W | FEM | | | | KI (Soft) | KI (Hole) | %Difference |
|-----|------|---------|-----------------------------|-----------------------------|-------------------------|-------------------------|-------------|
| | Node | Element | Vb ($\times 10^{-4}$ m) | Vc ($\times 10^{-4}$ m) | (Mpa·m ^{1/2}) | (Mpa·m ^{1/2}) | |
| 0.2 | 3993 | 7725 | 0.0177 | 0.0343 | 0.6559 | 0.6011 | 9.12% |
| 0.3 | 4303 | 8334 | 0.0245 | 0.0492 | 0.8942 | 0.8873 | 0.78% |
| 0.4 | 2456 | 4666 | 0.0318 | 0.0642 | 1.1600 | 1.2663 | 8.39% |
| 0.5 | 4325 | 8410 | 0.0470 | 0.0947 | 1.7163 | 1.8371 | 6.57% |
| 0.6 | 3804 | 7361 | 0.0648 | 0.1301 | 2.3726 | 2.4649 | 3.75% |

ผลการทดสอบพบว่าความยาวรอยร้าวที่เพิ่มขึ้น ค่าตัวประกอบความเข้มของความเข้มมีค่าเพิ่มขึ้นทั้ง 3 กรณี (Hard inclusion, Soft inclusion, Hole) แต่หากเปรียบเทียบกันแล้วจะพบว่าค่าตัวประกอบความเข้มของความเดินที่ Hard inclusion มีค่าน้อยที่สุด ถัดมาคือ Soft inclusion และมากที่สุดที่กรณีที่ไม่มี Inclusion (Hole) ยกเว้นที่ a/W มีค่าเท่ากับ 0.2 เท่านั้น ที่ค่าตัวประกอบความเข้มของความเดินของกรณีที่ไม่มี Inclusion (Hole) มีค่าน้อยที่สุด

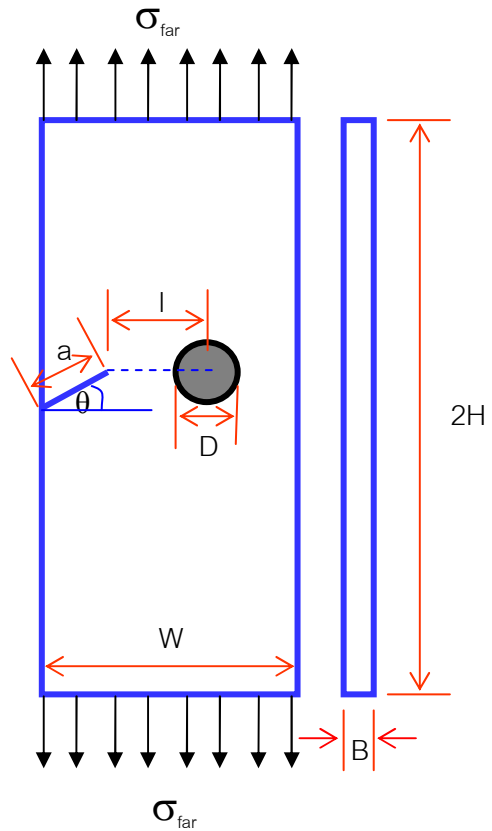


ภาพที่ 7.5

กราฟเบริยบเทียบค่าตัวประกอบความเข้มของความเดินที่รอยร้าวต่าง ๆ สำหรับปัญหา
แผ่นสี่เหลี่ยมแบบที่มีรอยร้าวข้างเดียวภายใต้แรงดึงสำหรับ Hard inclusion
และ Soft inclusion เบริยบเทียบกับแบบไม่มี Inclusion (Hole)

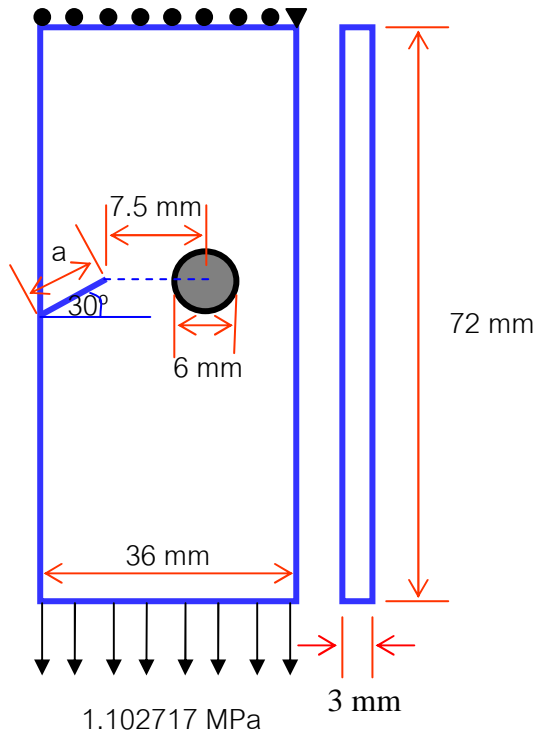
7.2.3 ปัญหาแผ่นสี่เหลี่ยมมีรอยร้าวเฉียงมุม 30° ที่ขอบด้านเดียวภายใต้ แรงดึง

ปัญหาแผ่นสี่เหลี่ยมมีรอยร้าวเฉียงมุม 30° ที่ขอบด้านเดียวภายใต้แรงดึง¹
ความกว้างเท่ากับ W ความสูงเท่ากับ $2H$ ความหนาเท่ากับ B รายละเอียดของปัญหาแสดงใน
ภาพที่ 7.6 และ 7.7 ถูกกระทำด้วยภาระความเดินตึงขนาด 1.102 MPa ในแนวตั้ง มีค่าโมดูลัส
ของความยืดหยุ่นเท่ากับ 2.5 GPa อัตราส่วนปัวของส์เท่ากับ 0.38 มีอัตราส่วนความยาวของรอยร้าว
ต่อความกว้าง (a/W) ในช่วง $0.2-0.6$ โดยความสูง ($2H$) เท่ากับ 72 มิลลิเมตร ความกว้างเท่ากับ
 36 มิลลิเมตร และความหนาเท่ากับ 3 มิลลิเมตร



ภาพที่ 7.6

รูปร่างปัญหาแผ่นสี่เหลี่ยมแบบมีรอยร้าวเฉียงมุม 30° ที่ขอบด้านเดียวภายใต้แรงดึง



ภาพที่ 7.7

รายละเอียดของปัญหาแผ่นสี่เหลี่ยมแบบมีรอยร้าวเฉียงมุม 30° ที่ขอบด้านเดียวภายใต้แรงดึง

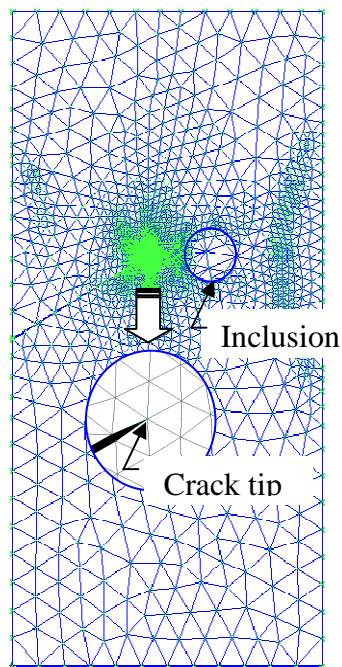
โดย พารามิเตอร์ที่จะคงคือ

| | |
|---|---|
| W | คือ ความกว้างของชิ้นทดสอบ มีขนาด 36 mm |
| H | คือ ความยาวของชิ้นทดสอบ มีขนาด 36 mm |
| B | คือ ความหนาของชิ้นงาน มีขนาด 3 mm |
| I | คือ ความยาวระหว่างปลายรอยร้าวกับจุดศูนย์กลาง ของ inclusion มีขนาด 7.5 mm |
| D | คือ เส้นผ่านศูนย์กลางของ inclusion มีขนาด 6 mm |

ซึ่ง Inclusion จะเยื่องขึ้นตามระยะของ $a \sin \theta$

ซึ่งจะใช้พารามิเตอร์ข้างต้นทั้ง Soft และ hard inclusion โดยรูปร่างของปัญหาจะยึดແเน่งที่มุมบนด้านใดด้านหนึ่ง และยึดไม่ให้มีการเคลื่อนที่ในแนวแกน y ที่ขอบด้านบนที่เหลือทั้งหมด ดังแสดงในภาพที่ 7.8

เมื่อทำการคำนวณด้วยโปรแกรม CRACK2D โดยใช้เคลิเมนต์แบบสามเหลี่ยมแปดจุดต่อบริเวณรอบปลายรอยร้าว ได้ค่าการเคลื่อนตัวบริเวณปลายรอยร้าว แทนค่าตามสมการที่ (5.17) สามารถหาค่าตัวประกอบความเข้มของความเค้นได้ผลตามตารางที่ 7.4 สำหรับ Hard inclusion และได้ผลตามตารางที่ 7.5 สำหรับ Soft inclusion ค่าความแตกต่างของตัวประกอบความเข้มของความเค้นที่มี Inclusion ของปัญหาแห่งสี่เหลี่ยมแบบมีรอยร้าวเฉียง 30° ที่ขอบด้านเดียวภายใต้แรงดึง เปรียบเทียบกับผลการคำนวณกับปัญหาเดียวกันที่ไม่มี inclusion แสดงในภาพที่ 7.9



ภาพที่ 7.8

รูปแบบของไฟนิต์เคลิเมนต์ของปัญหาแห่งสี่เหลี่ยมแบบมีรอยร้าวเฉียง 30° ที่ขอบด้านเดียวภายใต้แรงดึง ($a/W = 0.5$)

ตารางที่ 7.4

ค่าตัวประกอบความเข้มของความเด่นของปัญหาแผ่นสี่เหลี่ยมแบบมีรอยร้าวเฉียง 30° ที่ขอบด้าน

เดียวยกายใต้แรงดึงสำหรับ Hard inclusion

| a/W | FEM | | KI (Hard) | KI (Hole) | % Difference | KII (Hard) | KII (Hole) | % Difference |
|-----|------|---------|-------------------------|-------------------------|--------------|-------------------------|-------------------------|--------------|
| | Node | Element | (Mpa·m ^{1/2}) | (Mpa·m ^{1/2}) | | (Mpa·m ^{1/2}) | (Mpa·m ^{1/2}) | |
| 0.4 | 5236 | 10202 | 0.3067 | 0.3545 | 13% | 0.0903 | 0.1083 | 17% |
| 0.5 | 5007 | 9748 | 0.4323 | 0.4880 | 11% | 0.1222 | 0.1467 | 17% |
| 0.6 | 6688 | 13062 | 0.6084 | 0.7003 | 13% | 0.1595 | 0.1848 | 14% |

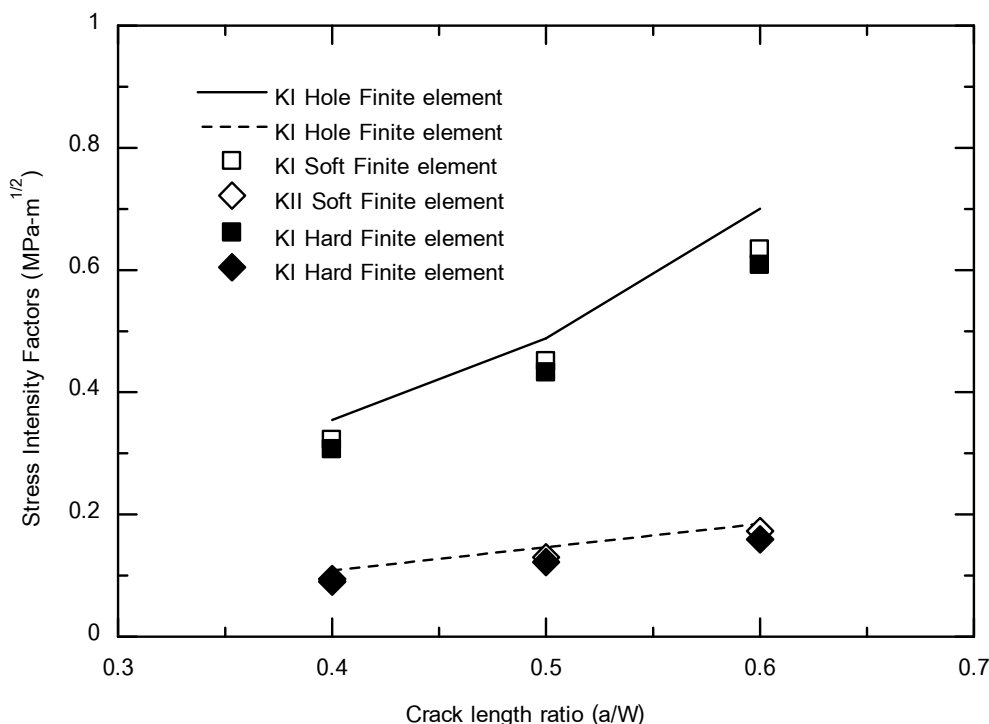
ตารางที่ 7.5

ค่าตัวประกอบความเข้มของความเด่นของปัญหาแผ่นสี่เหลี่ยมแบบมีรอยร้าวเฉียง 30° ที่ขอบด้าน

เดียวยกายใต้แรงดึงสำหรับ Soft inclusion

| a/W | FEM | | KI (Soft) | KI (Hole) | % Difference | KII (Soft) | KII (Hole) | % Difference |
|-----|------|---------|-------------------------|-------------------------|--------------|-------------------------|-------------------------|--------------|
| | Node | Element | (Mpa·m ^{1/2}) | (Mpa·m ^{1/2}) | | (Mpa·m ^{1/2}) | (Mpa·m ^{1/2}) | |
| 0.4 | 5236 | 10202 | 0.3219 | 0.3545 | 9% | 0.0946 | 0.1083 | 13% |
| 0.5 | 5007 | 9748 | 0.4507 | 0.4880 | 8% | 0.1299 | 0.1467 | 11% |
| 0.6 | 6688 | 13062 | 0.6334 | 0.7003 | 10% | 0.1729 | 0.1848 | 6% |

ผลการทดสอบพบว่าที่ความยาวรอยร้าวเพิ่มขึ้น ค่าตัวประกอบความเข้มของความเข้มมีค่าเพิ่มขึ้นทั้ง 3 กรณี (Hard inclusion, Soft inclusion, Hole) แต่หากเปรียบเทียบที่ความยาวรอยร้าวเท่ากันพบว่า ค่าตัวประกอบความเข้มของความเด่นที่ Hard inclusion มีค่าน้อยที่สุด ถัดไปคือ Soft inclusion และมากที่สุดที่กรณีที่ไม่มี Inclusion (Hole)

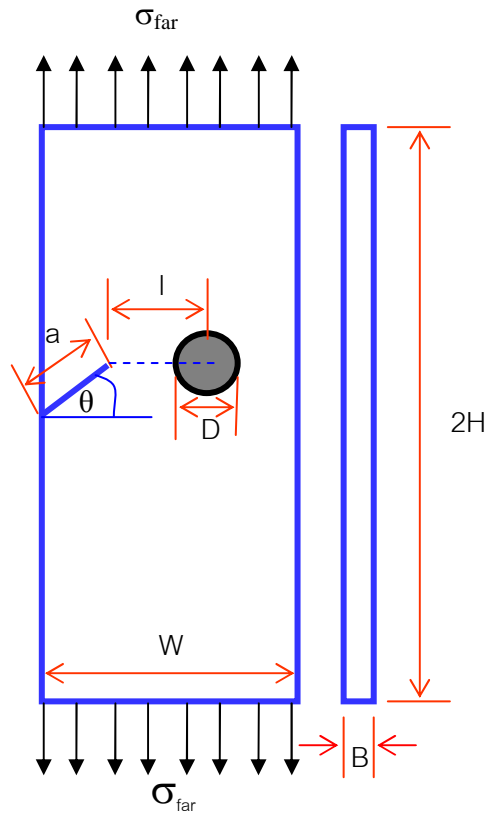


ภาพที่ 7.9

กราฟเปรียบเทียบค่าตัวประกอบความเข้มของความเด่นที่รอยร้าวต่าง ๆ สำหรับปัญหาแผ่นสี่เหลี่ยมมีรอยร้าวเฉียง 30° ที่ขอบด้านเดียวภายใต้แรงดึง สำหรับ Hard inclusion และ Soft inclusion เปรียบเทียบกับแบบไม่มี Inclusion (Hole)

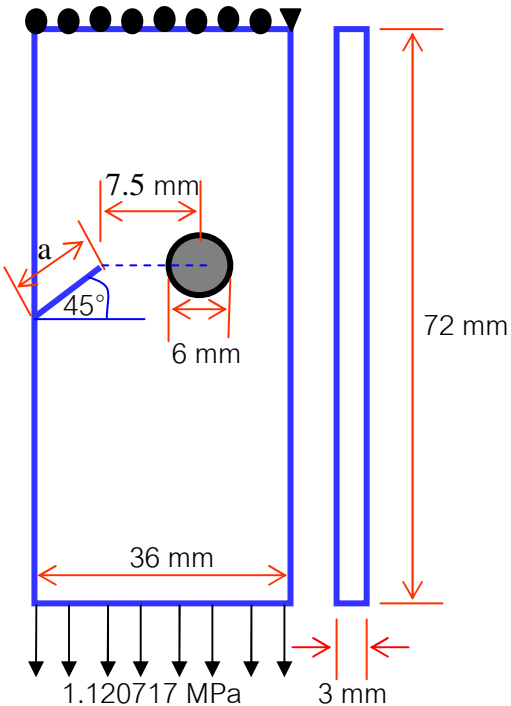
7.2.4 ปัญหาแผ่นสี่เหลี่ยมมีรอยร้าวเฉียงมุม 45° ที่ขอบด้านเดียวภายใต้แรงดึง

ปัญหาแผ่นสี่เหลี่ยมมีรอยร้าวเฉียงมุม 45° ที่ขอบด้านเดียวภายใต้แรงดึง ความกว้างเท่ากับ W ความสูงเท่ากับ $2H$ ความหนาเท่ากับ B รายละเอียดของปัญหาแสดงในภาพที่ 7.10 และ 7.11 ถูกกระทำด้วยภาระความเด่นตึงขนาด 1.102 MPa ในแนวตั้ง มีค่าโมดูลัสของความยืดหยุ่นเท่ากับ 2.5 GPa อัตราส่วนปัวซองส์เท่ากับ 0.38 มีอัตราส่วนความย่างรอยร้าวต่อความกว้าง (a/W) ในช่วง 0.2 - 0.6 โดยความสูง ($2H$) เท่ากับ 72 มิลลิเมตร ความกว้างเท่ากับ 36 มิลลิเมตร และความหนาเท่ากับ 3 มิลลิเมตร



ภาพที่ 7.10

รูปร่างของปัญหาแผ่นสี่เหลี่ยมแบบมีรอยร้าวเฉียงมุม 45° ที่ขอบด้านเดียวภายใต้แรงดึง



ภาพที่ 7.11

รายละเอียดของปัญหาปัญหาแผ่นสี่เหลี่ยมแบบมีรอยร้าวเฉียงมุม 45° ที่ขอบด้านเดียวภายใต้แรงดึง

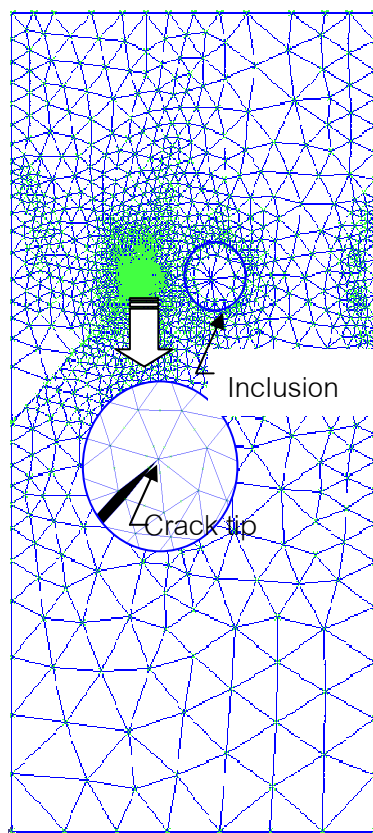
โดย พารามิเตอร์ที่จะจงคือ

| | |
|---|---|
| W | คือ ความกว้างของชิ้นทดสอบ มีขนาด 36 mm |
| H | คือ ความยาวของชิ้นทดสอบ มีขนาด 36 mm |
| B | คือ ความหนาของชิ้นงาน มีขนาด 3 mm |
| I | คือ ความยาวระหว่างปลายรอยร้าวกับจุดศูนย์กลางของ inclusion มีขนาด 7.5 mm |
| D | คือ เส้นผ่านศูนย์กลางของ inclusion มีขนาด 6 mm |

ซึ่ง Inclusion จะเยื่องขึ้นตามระยะของ $a \sin \theta$

ซึ่งจะใช้พารามิเตอร์ข้างต้นกับทั้ง Soft และ hard inclusion โดยอุปกรณ์ของปัญหานี้คือการเปลี่ยนรูปแบบด้านหนึ่ง และเปลี่ยนให้มีการเคลื่อนที่ในแนวแกน y ที่ขอบด้านบนที่เหลือทั้งหมด ดังแสดงในภาพที่ 7.12

เมื่อทำการคำนวณด้วยโปรแกรม CRACK2D โดยใช้โอลิเมนต์แบบสามเหลี่ยมแปดจุดต่อบริเวณรอบปลายรอยร้าว ได้ค่าการเคลื่อนตัวบริเวณปลายรอยร้าว แทนค่าตามสมการที่ (5.17) สามารถหาค่าตัวประกอบความเข้มของความเค้นได้ผลตามตารางที่ 7.6 สำหรับ hard inclusion และได้ผลตามตารางที่ 7.7 สำหรับ Soft inclusion ค่าความแตกต่างของตัวประกอบความเข้มของความเค้นที่มี Inclusion ของปัญหาแผ่นสี่เหลี่ยมมีรอยร้าวเฉียงมุม 45° ที่ขอบด้านเดียวภายใต้แรงดึง เปรียบเทียบกับผลการคำนวณกับปัญหาเดียวกันที่ไม่มี inclusion แสดงในภาพที่ 7.13



ภาพที่ 7.12

รูปแบบของไฟแนนต์โอลิเมนต์ของปัญหาแผ่นสี่เหลี่ยมแบบมีรอยร้าวเฉียง 45° ที่ขอบด้านเดียวภายใต้แรงดึง ($a/W = 0.5$)

ตารางที่ 7.6

ค่าตัวประกอบความเข้มของความเดินของปัญหาแผ่นสี่เหลี่ยมแบบมีรอยร้าวเฉียง 45° ที่ขอบด้านเดียวภายใต้แรงดึงสำหรับ Hard inclusion

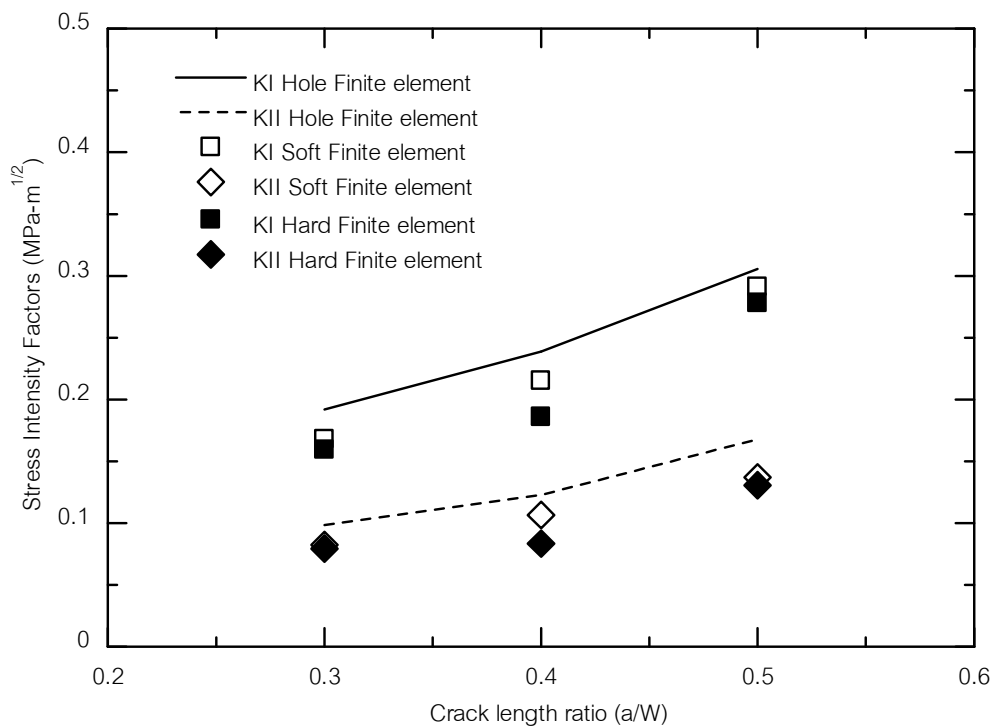
| a/W | FEM | | KI (Hard) | KI (Hole) | % | KII (Hard) | KII (Hole) | % |
|-----|------|---------|-------------------------|-------------------------|------------|-------------------------|-------------------------|------------|
| | Node | Element | (Mpa·m ^{1/2}) | (Mpa·m ^{1/2}) | Difference | (Mpa·m ^{1/2}) | (Mpa·m ^{1/2}) | Difference |
| 0.3 | 4915 | 9531 | 0.1594 | 0.1919 | 17% | 0.0794 | 0.0985 | 19% |
| 0.4 | 4782 | 9252 | 0.1859 | 0.2387 | 22% | 0.0835 | 0.1228 | 32% |
| 0.5 | 5021 | 9725 | 0.2782 | 0.3057 | 9% | 0.1307 | 0.1680 | 22% |

ตารางที่ 7.7

ค่าตัวประกอบความเข้มของความเดินของปัญหาแผ่นสี่เหลี่ยมแบบมีรอยร้าวเฉียง 45° ที่ขอบด้านเดียวภายใต้แรงดึงสำหรับ Soft inclusion

| a/W | FEM | | KI (Soft) | KI (Hole) | % | KII (Soft) | KII (Hole) | % |
|-----|------|---------|-------------------------|-------------------------|------------|-------------------------|-------------------------|------------|
| | Node | Element | (Mpa·m ^{1/2}) | (Mpa·m ^{1/2}) | Difference | (Mpa·m ^{1/2}) | (Mpa·m ^{1/2}) | Difference |
| 0.3 | 4915 | 9531 | 0.1679 | 0.1919 | 13% | 0.0823 | 0.0985 | 16% |
| 0.4 | 4782 | 9252 | 0.2152 | 0.2387 | 10% | 0.1066 | 0.1228 | 13% |
| 0.5 | 5021 | 9725 | 0.2912 | 0.3057 | 5% | 0.1371 | 0.1680 | 18% |

ผลการทดสอบพบว่าที่ความยาวรอยร้าวเพิ่มขึ้น ค่าตัวประกอบความเข้มของความเข้มมีค่าเพิ่มขึ้นทั้ง 3 กรณี (Hard inclusion, Soft inclusion และ Hole) แต่หากเปรียบเทียบที่ความยาวรอยร้าวเท่ากันพบว่า ค่าตัวประกอบความเข้มของความเดินที่ Hard inclusion มีค่าน้อยที่สุด ถัดมาคือ Soft inclusion และมากที่สุดที่กรณีที่ไม่มี Inclusion (Hole)



ภาพที่ 7.13

กราฟเปรียบเทียบค่าตัวประกอบความเข้มของความเด็นที่รอยร้าวต่าง ๆ สำหรับปัญหาแผ่นสี่เหลี่ยมมีรอยร้าวเฉียงมุม 45° ที่ขอบด้านเดียวภายใต้แรงดึง สำหรับ Hard inclusion และ Soft inclusion เปรียบเทียบกับแบบไม่มี Inclusion (Hole)